

Ultimo aggiornamento delle informazioni: Maggio 2024

Configurazione di prodotto: Q958

Q958: Incasso Frame a 15 celle - General Lighting Pro - DALI



Codice prodotto

Q958: Incasso Frame a 15 celle - General Lighting Pro - DALI

Descrizione tecnica

Apparecchio miniaturizzato ad incasso rettangolare a 15 elementi ottici per sorgenti LED - ottiche fisse con riflettori Opti-Beam ad alta definizione in termoplastico metallizzato, integrati in posizione arretrata nello schermo antiabbagliamento. Corpo principale con superficie radiante in alluminio pressofuso, versione con cornice perimetrale di battuta. Nonostante le dimensioni minime del prodotto, l'abbinamento della finitura totale bianca con la tecnologia brevettata del sistema ottico garantisce un elevato flusso luminoso, uniformato e ottimizzato da uno speciale filtro diffusore in grado di limitare sensibilmente l'abbagliamento diretto. Fornito con gruppo di alimentazione elettronico dimmerabile DALI collegato all'apparecchio.

Installazione

Ad incasso con molle in filo di acciaio per controsoffitti da 1 a 25 mm - asola di preparazione 24 x 276.

Colore

Bianco (01)

Peso (Kg)

0.75

Montaggio

incasso a parete|incasso a soffitto

Cablaggio

Su box di alimentazione; connessioni ad innesto rapido.

Soddisfa EN60598-1 e relative note



Dati tecnici

| | | | |
|--|------|--|--|
| Im di sistema: | 1759 | Life Time LED 1: | > 50,000h - L80 - B10 (Ta 25°C) |
| W di sistema: | 33.8 | Codice lampada: | LED |
| Im di sorgente: | 2550 | Numero di lampade per vano ottico: | 1 |
| W di sorgente: | 30 | Codice ZVEI: | LED |
| Efficienza luminosa (lm/W, dati di sistema): | 52.1 | Numero di vani ottici: | 1 |
| Im in modalità emergenza: | - | Power factor: | Vedi istruzioni di installazione |
| Flusso totale emesso a 90° o superiore [Lm]: | 0 | Corrente di spunto (in-rush): | 9 A / 22 µs |
| Light Output Ratio (L.O.R.) [%]: | 69 | Massimo numero di apparecchi collegabili a ogni interruttore automatico: | B10A: 20 apparecchi B16A: 33 apparecchi C10A: 34 apparecchi C16A: 56 apparecchi |
| CRI (minimo): | 90 | % minima di dimmerazione: | 1 |
| Temperatura colore [K]: | 2700 | Protezione alle sovratensioni: | 2kV Modo comune e 1kV Modo differenziale |
| MacAdam Step: | 2 | Control: | DALI-2 |

Polare

| | | | | | |
|--|---|------------|----------|-----------|-------------|
| <p>Imax=2113 cd 90° 180° 90° 2000 0° α=54°</p> | <p>CIE nL 0.69 88-98-100-100-69 UGR 21.6-21.5 DIN A.61 UTE 0.69A+0.00T F*1=877 F*1+F*2=981 F*1+F*2+F*3=997</p> | Lux | | | |
| | | h | d | Em | Emax |
| | | 2 | 2 | 392 | 528 |
| | | 4 | 4.1 | 98 | 132 |
| | | 6 | 6.1 | 44 | 59 |
| 8 | 8.2 | 24 | 33 | | |

Coefficienti di utilizzazione

| R | 77 | 75 | 73 | 71 | 55 | 53 | 33 | 00 | DRR |
|------|----|----|----|----|----|----|----|----|-----|
| K0.8 | 58 | 54 | 51 | 49 | 54 | 51 | 51 | 48 | 69 |
| 1.0 | 62 | 58 | 55 | 53 | 57 | 55 | 54 | 52 | 75 |
| 1.5 | 66 | 63 | 61 | 59 | 62 | 60 | 60 | 57 | 83 |
| 2.0 | 69 | 66 | 65 | 63 | 65 | 64 | 63 | 61 | 88 |
| 2.5 | 70 | 68 | 67 | 66 | 67 | 66 | 65 | 63 | 92 |
| 3.0 | 71 | 70 | 69 | 68 | 69 | 68 | 67 | 65 | 94 |
| 4.0 | 72 | 71 | 70 | 70 | 70 | 69 | 68 | 66 | 96 |
| 5.0 | 73 | 72 | 71 | 71 | 71 | 70 | 69 | 67 | 97 |

Curva limite di luminanza

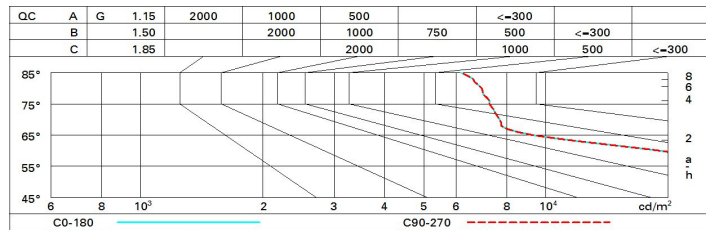


Diagramma UGR

| Corrected UGR values (at 2550 lm bare lamp luminous flux) | | | | | | | | | | | |
|---|------|------------------|------|------|------|------|----------------|------|------|------|------|
| Reflect.: | | viewed crosswise | | | | | viewed endwise | | | | |
| ceil/cav | | 0.70 | 0.70 | 0.50 | 0.50 | 0.30 | 0.70 | 0.70 | 0.50 | 0.50 | 0.30 |
| walls | | 0.50 | 0.30 | 0.50 | 0.30 | 0.30 | 0.50 | 0.30 | 0.50 | 0.30 | 0.30 |
| work pl. | | 0.20 | 0.20 | 0.20 | 0.20 | 0.20 | 0.20 | 0.20 | 0.20 | 0.20 | 0.20 |
| Room dim | | viewed crosswise | | | | | viewed endwise | | | | |
| x | y | | | | | | | | | | |
| 2H | 2H | 21.7 | 22.3 | 21.9 | 22.5 | 22.8 | 21.7 | 22.3 | 21.9 | 22.5 | 22.8 |
| | 3H | 21.6 | 22.2 | 22.0 | 22.5 | 22.8 | 21.7 | 22.2 | 22.0 | 22.5 | 22.8 |
| | 4H | 21.6 | 22.2 | 22.0 | 22.5 | 22.8 | 21.6 | 22.2 | 22.0 | 22.4 | 22.7 |
| | 6H | 21.6 | 22.1 | 22.0 | 22.4 | 22.7 | 21.5 | 22.0 | 21.9 | 22.4 | 22.7 |
| | 8H | 21.6 | 22.1 | 22.0 | 22.4 | 22.7 | 21.5 | 22.0 | 21.9 | 22.3 | 22.7 |
| 12H | 21.6 | 22.0 | 21.9 | 22.4 | 22.7 | 21.5 | 21.9 | 21.9 | 22.3 | 22.6 | |
| 4H | 2H | 21.6 | 22.2 | 22.0 | 22.4 | 22.7 | 21.6 | 22.2 | 22.0 | 22.5 | 22.8 |
| | 3H | 21.6 | 22.1 | 22.0 | 22.4 | 22.8 | 21.7 | 22.1 | 22.0 | 22.5 | 22.8 |
| | 4H | 21.6 | 22.0 | 22.0 | 22.4 | 22.8 | 21.6 | 22.0 | 22.0 | 22.4 | 22.8 |
| | 6H | 21.6 | 22.0 | 22.1 | 22.4 | 22.8 | 21.6 | 21.9 | 22.0 | 22.3 | 22.7 |
| | 8H | 21.6 | 22.0 | 22.1 | 22.4 | 22.8 | 21.5 | 21.9 | 22.0 | 22.3 | 22.7 |
| 12H | 21.6 | 21.9 | 22.1 | 22.3 | 22.8 | 21.5 | 21.8 | 22.0 | 22.2 | 22.7 | |
| 8H | 4H | 21.5 | 21.9 | 22.0 | 22.3 | 22.7 | 21.6 | 22.0 | 22.1 | 22.4 | 22.8 |
| | 6H | 21.6 | 21.8 | 22.1 | 22.3 | 22.8 | 21.6 | 21.9 | 22.1 | 22.3 | 22.8 |
| | 8H | 21.6 | 21.8 | 22.1 | 22.3 | 22.8 | 21.6 | 21.8 | 22.1 | 22.3 | 22.8 |
| | 12H | 21.6 | 21.8 | 22.1 | 22.3 | 22.8 | 21.6 | 21.8 | 22.1 | 22.3 | 22.8 |
| 12H | 4H | 21.5 | 21.8 | 22.0 | 22.2 | 22.7 | 21.6 | 21.9 | 22.1 | 22.3 | 22.8 |
| | 6H | 21.5 | 21.8 | 22.0 | 22.2 | 22.7 | 21.6 | 21.8 | 22.1 | 22.3 | 22.8 |
| | 8H | 21.6 | 21.8 | 22.1 | 22.3 | 22.8 | 21.6 | 21.8 | 22.1 | 22.3 | 22.8 |
| Variations with the observer position at spacing: | | | | | | | | | | | |
| S = | 1.0H | 2.4 / -2.2 | | | | | 2.4 / -2.2 | | | | |
| | 1.5H | 4.5 / -4.7 | | | | | 4.5 / -4.7 | | | | |
| | 2.0H | 6.3 / -6.0 | | | | | 6.3 / -6.0 | | | | |